

Università degli studi di Bergamo

Scuola di Ingegneria (Dolmine)

CCS Ingegneria Edile

L-23 Ingegneria delle Tecnologie per l'Edilizia

Scienza delle Costruzioni

(ICAR/08 - SdC ; 9 CFU)

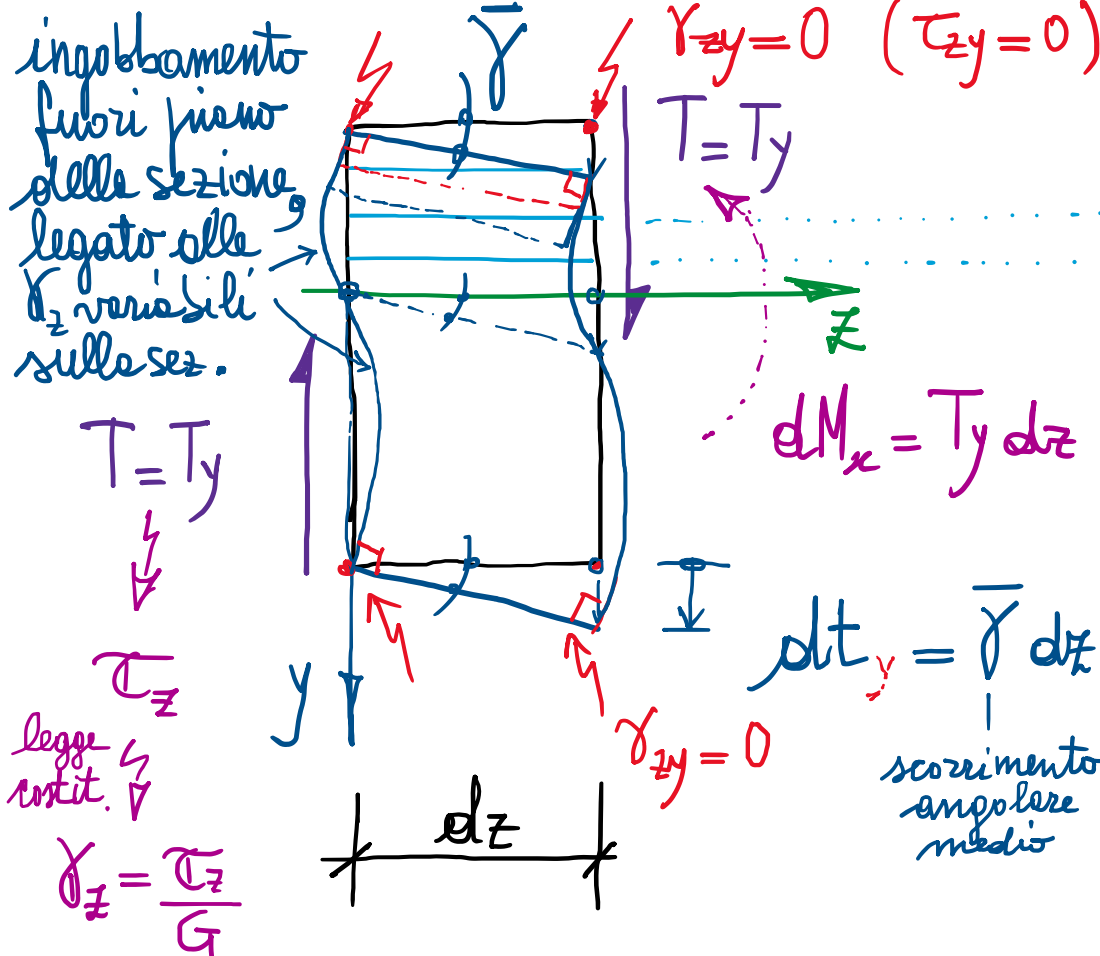
A.A. 2021/2022

prof. Egidio RIZZI

egidio.rizzi@unibg.it

LEZIONE 23

- Deformazione del concio di trave dovuta al taglio

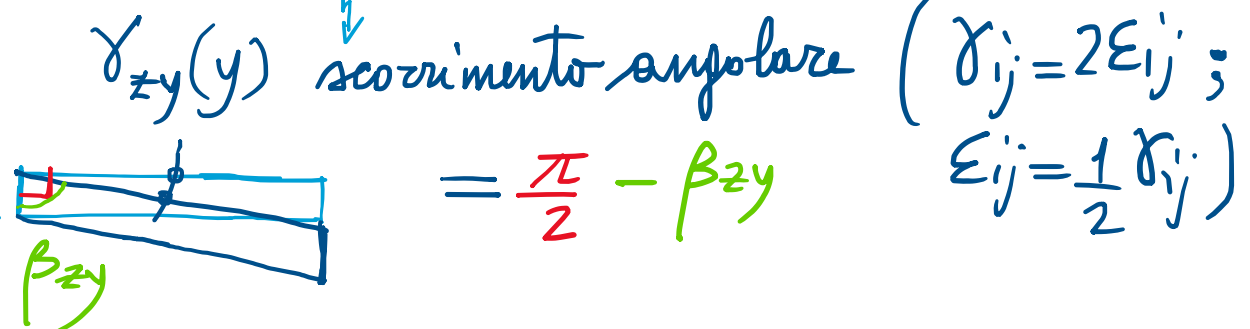


G: modulo di elasticità tangenziale o Modulo di taglio

$$G = \frac{E}{2(1+\nu)}$$

materiale:
 - elastico
 - lineare
 - isotropo $\rightarrow 2$ parametri es. E, ν

variazione di angolo retto tra fibre iniziali.



- Se γ_{zy} fosse costante in y, la deformazione del concio sarebbe "autosomigliante" a quelle, costante, di ogni "stisciolino" ideale, e si verrebbe a produrre solo uno scorrimento relativo dt delle facce di destra rispetto a quelle di sinistra.

- Poiché $\gamma_{zy} = \gamma_{zy}(y)$ risulta variabile lungo la sezione, da $\gamma_{zy} = \frac{T_{zy}}{G}$ con $T_{zy}(y)$, secondo ad es., le formule di Jouravsky, si valuta $\bar{\gamma}$



• Valutazione dello scorrimento medio via PLV : [effetti taglienti]

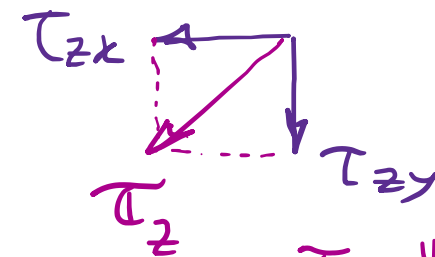
$$\frac{d\bar{v}_e}{dz} = T_y \frac{dt}{dz} = \int_A \bar{\tau}_z \cdot \gamma_z dA \cancel{= \frac{d\bar{v}_i}{dz}} \quad \bar{\tau}_z = \begin{bmatrix} \tau_{zx} \\ \tau_{zy} \end{bmatrix}; \quad \gamma_z = \begin{bmatrix} \gamma_{zx} \\ \gamma_{zy} \end{bmatrix} = \begin{bmatrix} \frac{\tau_{zx}}{G} \\ \frac{\tau_{zy}}{G} \end{bmatrix}$$

$$\bar{\tau} = \tau_{zx} \gamma_{zx} + \tau_{zy} \gamma_{zy} \Leftrightarrow \sigma_{ij} \epsilon_{ij} = \sigma : \epsilon$$

$$\bar{\gamma} = \frac{T_y}{G A^*} = \frac{dt}{dz}$$

Soluz. di Jourawsky

$$\frac{1}{G} (\underbrace{\tau_{zx}^2 + \tau_{zy}^2}_{\bar{\tau}_z^2}) = \frac{\tau_z^2}{G}$$



$$\tau_z = \|\bar{\tau}_z\| = \sqrt{\tau_{zx}^2 + \tau_{zy}^2}$$

$$\bar{\tau}_z^2 = \|\tau_z\|^2 = \tau_{zx}^2 + \tau_{zy}^2$$

$$\left\{ \begin{array}{l} \tau_{zy}(y) = \frac{T_y S_x(y)}{\int_x b(y)} \quad \text{formule di Jourawsky} \\ \tau_{zx}(x; y) = -\frac{2 \tan \alpha(y) \cdot x}{b(y)} \end{array} \right.$$

$$T_y \frac{dt}{dz} = \frac{1}{G} \int_A \bar{\tau}_{zy}^2 \left[1 + \left(\frac{\tau_{zx}}{\bar{\tau}_z} \right)^2 \right] dA$$

$$T_y \frac{dt}{dz} = \frac{1}{G} \frac{T_y}{A} \int_A \frac{S_x(y)}{b(y)^2} \left(1 + \frac{4 \tan^2 \alpha(y)}{b^2(y)} x^2 \right) dA$$

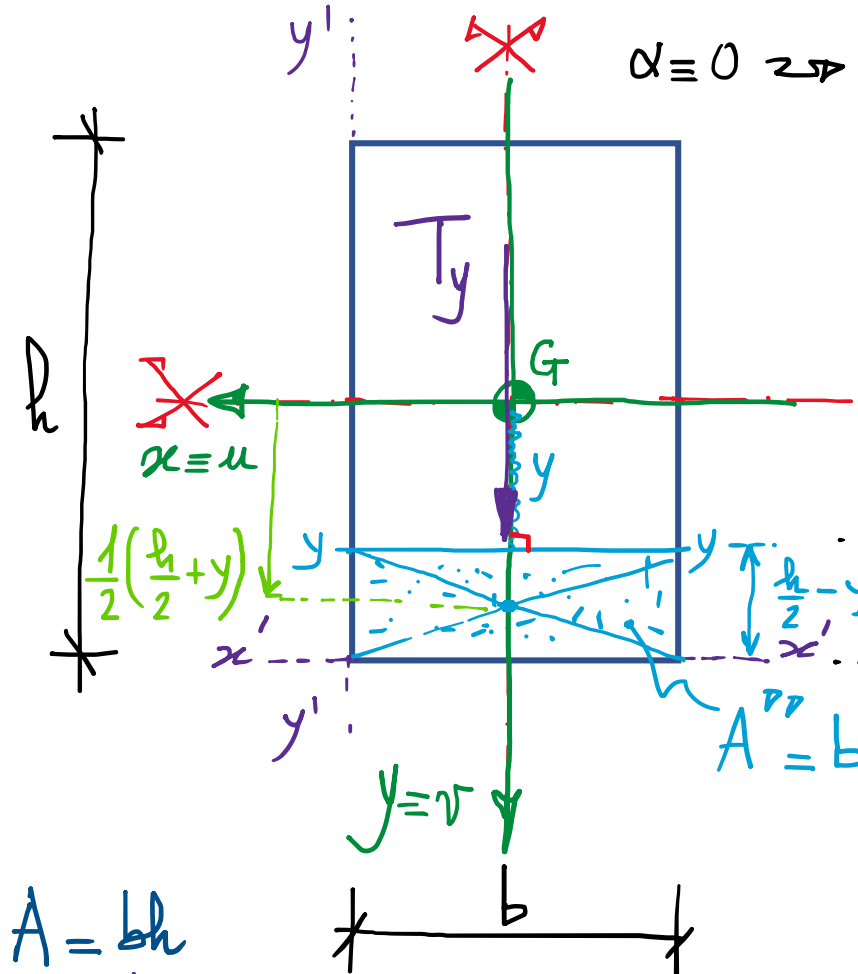
$$dt = \mu \frac{T_y}{GA} \quad \mu: \text{fattore di taglio delle sez. trasv.} \geq 1$$

$$A^* = \frac{A}{\mu} \quad \text{area ridotta} \Rightarrow dt = \frac{T_y}{GA^*} dz$$

GA* = rigidezza tagliente efficace

$$dt = \frac{T_y l}{GA^* \bar{\gamma}}$$

- Caso delle sezioni rettangolari: (sez. doppia simmetria)



$$\bar{J}_{zy} = \frac{1}{bh} \int_{-h/2}^{h/2} I_{zy} b dy$$

$$\bar{J}_{zy} = \frac{1}{bh} \int_{-h/2}^{h/2} \frac{T_{zy}}{A} b dy$$

$$M = \frac{6}{5}$$

fattore di taglio

andamento parabolico

max. rel. in $y=0$

$$\frac{d\tau}{dy} \sim \frac{2y}{h^2} = 0$$

$$\tau_{zy} = \frac{3}{2} \frac{T_y}{A}$$

$$= 1.5 \frac{T_y}{\bar{\tau}_{zy}}$$

$$A' = b \left(\frac{h}{2} - y \right)$$

$$\bar{\tau}_{zy} = \frac{1}{A'} \int_{-h/2}^{h/2} T_{zy} dy$$

$$\text{valore medio}$$

$$fattore di taglio$$

$$\frac{d}{dy} = -4 \cdot \frac{2y}{h^2} \text{ lin.}$$

$$T_{zy}(y) = \frac{T_y S_z(y)}{J_x b} = \frac{T_y}{J_x b} S_z(y)$$

$$S_z(y) = A \cdot \frac{1}{2} \left(\frac{h}{2} + y \right) = b \left(\frac{h}{2} - y \right) \frac{1}{2} \left(\frac{h}{2} + y \right)$$

$$= \frac{b}{2} \left(\frac{h^2}{4} - y^2 \right)$$

$$= \frac{b}{2} \left(\frac{h^2}{4} - y^2 \right)$$

$$\text{parabolico}$$

$$(0 \text{ per } y = \pm \frac{h}{2}, \text{ f.n. peri in } y,$$

$$\text{max. rel. per } y = 0: \frac{bh^2}{8})$$

$$= \frac{6 Ty}{bh^3} \left(\frac{h^2}{4} - y^2 \right) \left(\frac{y}{h/2} \right)^2$$

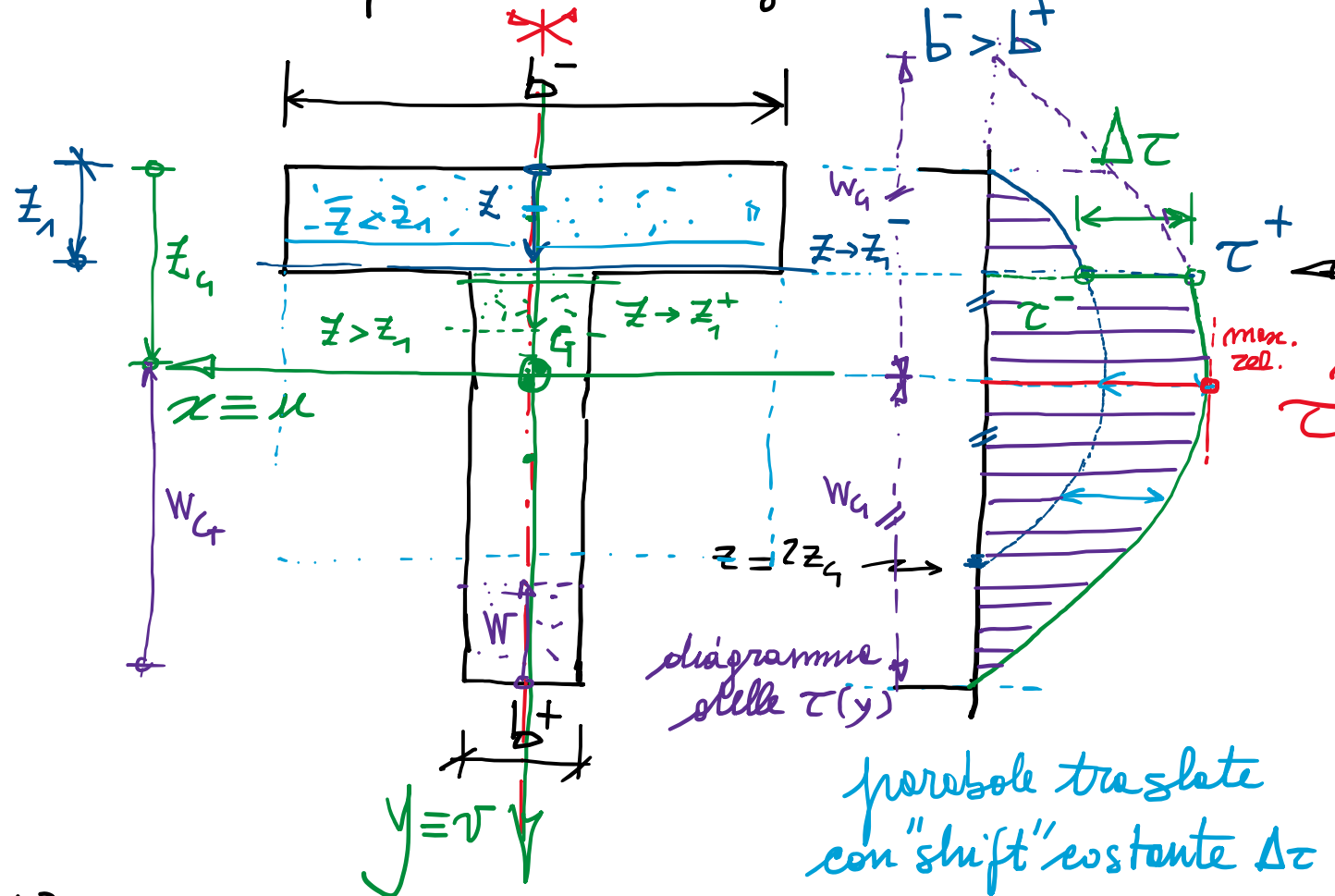
$$= \frac{6 Ty}{bh^3} \frac{h^2}{4} \left(1 - \frac{4y^2}{h^2} \right)$$

$$= \frac{3}{2} \frac{Ty}{bh} \left(1 - \frac{4y^2}{h^2} \right)$$

$$A$$

$$S_z = b \frac{h}{2} \frac{h}{4} = \frac{bh^2}{8}$$

- Sezioni composte da rettangoli elementari:



parbole traslate
con "shift" costante Δz

$$z < z_1$$

$$S_x = b^- z \left(z_4 - \frac{z}{2} \right) \sim z^2$$

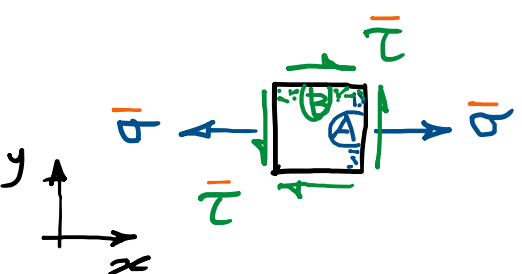
$$S_x = b^- z_1 \left(z_4 - \frac{z_1}{2} \right) + b^+ \frac{b^- - b^+}{2} z_1 \left(z_4 - \frac{z_1}{2} \right) \text{ "shift" costante}$$

$$z > z_1$$

$$S_x = b^+ z_1 \left(z_4 - \frac{z_1}{2} \right) + b^+ \frac{(z-z_1)(z_4 - \frac{z+z_1}{2})}{2} \sim z^2$$

$$+ b^+ z \left(z_4 - \frac{z}{2} \right) - b^+ z_1 \left(z_4 - \frac{z_1}{2} \right)$$

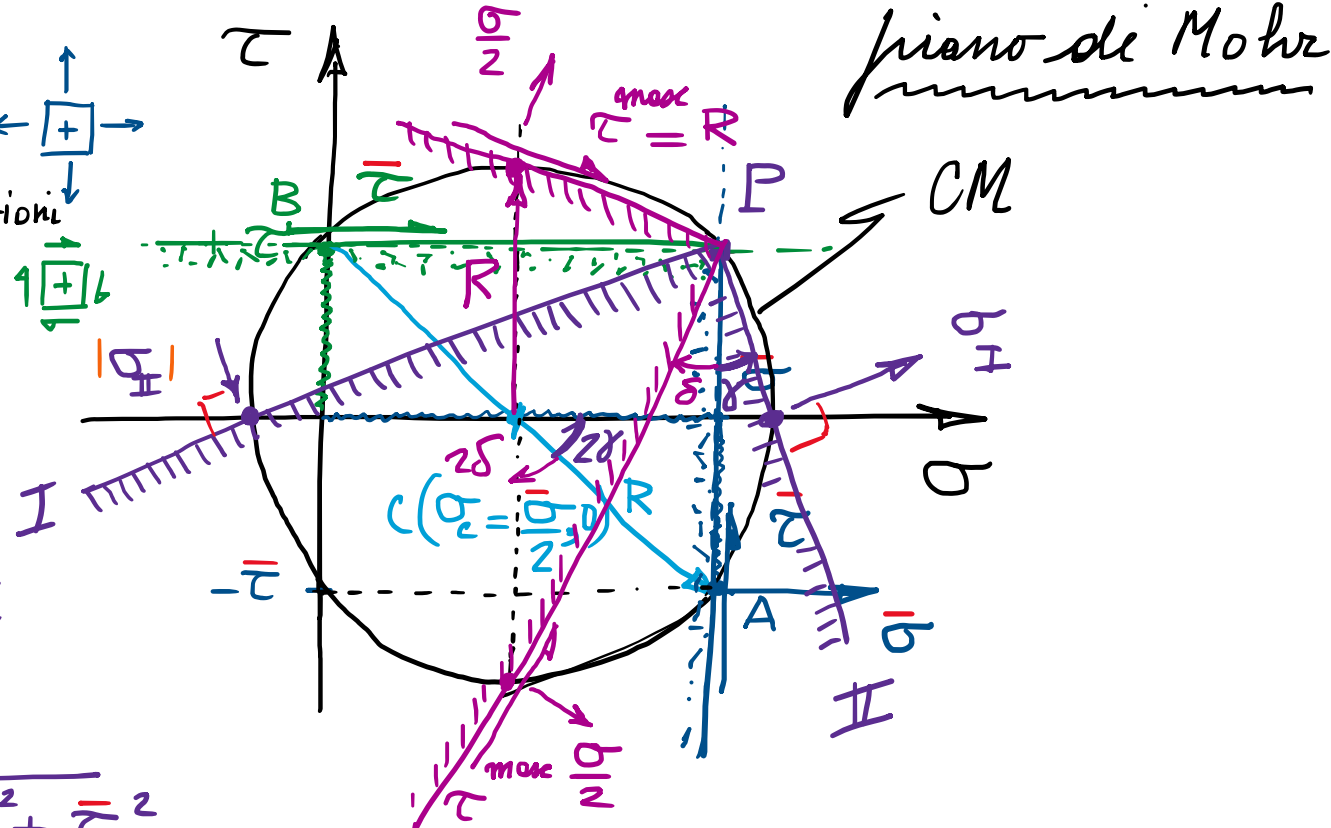
- CM per stato di sforzo piano alle de Saint Venant (travi) (una componente di sforzo normale nulla)



$$\left\{ \begin{array}{l} \sigma_{xx} = \bar{\sigma} \\ \sigma_{yy} = 0 \\ \tau_{xy} = \bar{\tau} \end{array} \right. \quad \begin{array}{l} \text{valori} \\ \text{assegnati} \end{array}$$

convenzioni
CM
 ≈ 1

$$\sigma \leftarrow \boxed{+}$$



particolare stato di sforzo piano con una componente di sforzo normale nulle

tensioni principali

$$\sigma_c = \frac{\bar{\sigma}}{2}$$

$$R = \sqrt{\left(\frac{\bar{\sigma}}{2}\right)^2 + \bar{\tau}^2}$$

$$= \bar{\tau}_{\max}$$

$$\sigma_{I,II} = \sigma_c \pm R$$

$$= \frac{\bar{\sigma}}{2} \pm \sqrt{\left(\frac{\bar{\sigma}}{2}\right)^2 + \bar{\tau}^2}$$

$$\sigma_I \cdot \sigma_{II} = (\sigma_c + R)(\sigma_c - R)$$

$$= \sigma_c^2 - R^2$$

$$= \left(\frac{\bar{\sigma}}{2}\right)^2 - \left(\frac{\bar{\sigma}}{2}\right)^2 - \bar{\tau}^2 \leq 0$$

$\bar{\tau}_{\max}$ nel piano \leftrightarrow tensioni principali di segno opposto cui agisce la $\bar{\tau}_{\max}$

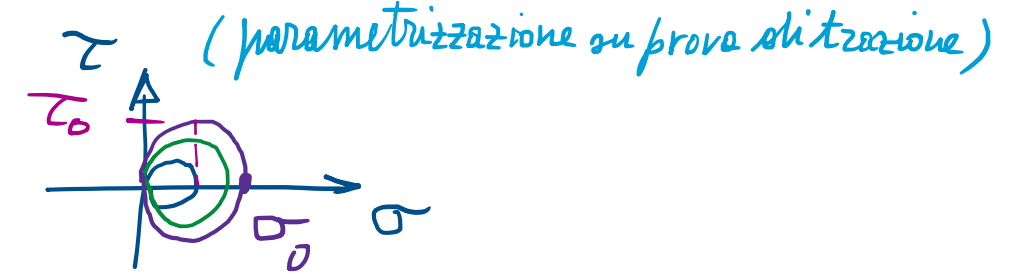
$$\tan 2\gamma = \frac{2\bar{\tau}}{\bar{\sigma}}$$

inclinaz.
dirz. princ. $\gamma = \frac{1}{2} \arctan\left(\frac{2\bar{\tau}}{\bar{\sigma}}\right)$

inclinaz. $\delta = \frac{\pi}{4} - \gamma$ $(2\delta + 2\gamma = \frac{\pi}{2})$
dirz. seconolo $\delta = \frac{\pi}{4}$
 $\delta + \gamma = \frac{\pi}{4}$

- Formule di verifica per stati di sforzo alle DSV

- Criterio di Tresca : $\tau^{\max} \leq \tau_0 = \frac{\sigma_0}{2} = 0.5 \sigma_0$
(è il più conservativo) $\sigma_{\perp}^{\max} \leq \sigma_0$



$$\sigma_{eq}^T = 2R = |\sigma_I - \sigma_{II}| = \sqrt{\bar{\sigma}^2 + 4\bar{\tau}^2} \leq \sigma_0$$

$$\sigma_{eq}^T = \bar{\sigma} \sqrt{1 + 4 \left(\frac{\bar{\tau}}{\bar{\sigma}} \right)^2} \leq \sigma_0$$

infatti: $\sigma_I - \sigma_{II} = \sigma_c + R - (\sigma_c - R) = 2R = 2\sqrt{\frac{\bar{\sigma}^2}{4} + \bar{\tau}^2} = \sqrt{\bar{\sigma}^2 + 4\bar{\tau}^2}$

- Criterio di von Mises :

$$\sigma_{eq}^{vM} = \sqrt{\sigma_I^2 + \sigma_{II}^2 - \sigma_I \sigma_{II}} = \sqrt{\bar{\sigma}^2 + 3\bar{\tau}^2} \leq \sigma_0 \Rightarrow \tau_0^{vM} = \frac{1}{\sqrt{3}} \sigma_0 = \frac{\sqrt{3}}{3} \sigma_0 \approx 0.577 \sigma_0$$

infatti: $\sigma_I^2 + \sigma_{II}^2 - \sigma_I \sigma_{II} = (\sigma_c + R)^2 + (\sigma_c - R)^2 - (\sigma_c + R)(\sigma_c - R)$
 $= \sigma_c^2 + R^2 + 2\sigma_c R + \sigma_c^2 + R^2 - 2\sigma_c R - \sigma_c^2 + R^2 = \sigma_c^2 + 3R^2$
 $= \frac{\sigma_0^2}{4} + 3(\frac{\sigma_0^2}{4} + \bar{\tau}^2) = \bar{\sigma}^2 + 3\bar{\tau}^2$

resist.
taglio

$$\begin{cases} \tau_0^{vM} = 0.5 \sigma_0 \\ \sigma_{eq}^{DSV} = \frac{1}{\sqrt{3}} \sigma_0 \\ \tau_0 = \frac{1}{1+\nu} \sigma_0 \end{cases}$$

- Criterio di de Saint Venant : $\nu = \frac{E}{2G} - 1 < \frac{1}{2}$ ATT.! $\nu = \frac{E}{2G} - 1 < \frac{1}{2}$

$$\sigma_{eq}^{DSV} = \max \left\{ \left| \sigma_I - \nu \sigma_{II} \right|, \left| \sigma_{II} - \nu \sigma_I \right| \right\} \leq \sigma_0$$

coeff. di contrez.

- Ordine di conservatività : $\sigma_{eq}^T \geq \sigma_{eq}^{vM} \geq \sigma_{eq}^{DSV}$ (DSV è il meno conservativo)

